

Sintesi delle Aggregazioni Ottime in Antenne a Schiera Planari per Applicazioni WPT mediante Strategia CPM

L. Poli, P. Rocca, A. Massa

Abstract

In questo documento è riportata l'analisi di una tecnica customizzata basata sul metodo delle partizioni contigue (CPM: Contiguous Partition Method) per la sintesi di antenne a schiera planari mediante architetture a sub-array che permette di massimizzare la potenza radiata in una regione d'interesse rispetto alla potenza totale. Nel documento sono riportati alcuni risultati rappresentativi che mostrano l'efficacia della tecnica, anche considerando schiere di grandi dimensioni ed un numero limitato di sub-arrays per semplificare l'architettura dell'antenna.

Contents

I Risultati e simulazioni array planari	3
1 ARRAY PLANARE 10x10 ELEMENTI ($M \times N = 10 \times 10; Q = 2, \dots, 8$)	3
1.1 Descrizione del test case	3
1.2 Pattern di Riferimento BCE 96.56%; $(u, v) = (0.2; 0.2)$	3
1.3 Pattern di Riferimento BCE 99.81%; $(u, v) = (0.3; 0.3)$	3
1.4 Pattern di Riferimento BCE 99.90%; $(u, v) = (0.4; 0.4)$	4
1.5 Parametri numerici pattern di riferimento	4
1.6 Risultati	5
1.6.1 Parametri vs Numero di subarray	5
1.6.2 Studio casi significativi ($Q = 2, 4, 6$)	6

Part I

Risultati e simulazioni array planari

1 ARRAY PLANARE 10x10 ELEMENTI ($M \times N = 10 \times 10$; $Q = 2, \dots, 8$)

1.1 Descrizione del test case

- Schiera planare - Numero di elementi: $M \times N = 10 \times 10$
- Spaziatura tra gli elementi: $d = 0.5\lambda$
- Numero di subarray: $Q = 2, \dots, 8$
- Intervallo angolare $BCE_{max} (u, v) = [(0.2; 0.2), (0.3; 0.3), (0.4; 0.4)]$
- Beam Collection Efficency massima $BCE_{max} = [96.56\%, 99.81\%, 99.90\%]$

1.2 Pattern di Riferimento $BCE 96.56\%$; $(u, v) = (0.2; 0.2)$

- Pattern somma di riferimento (Prasad, 1982)
- Efficienza di WPT: $BCE = 96.56\%$

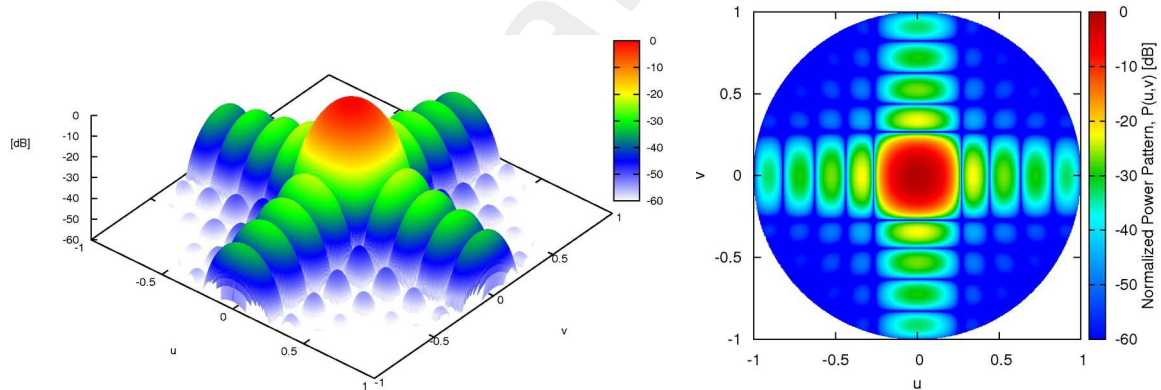


Figure 1: Pattern di riferimento

1.3 Pattern di Riferimento $BCE 99.81\%$; $(u, v) = (0.3; 0.3)$

- Pattern somma di riferimento (Prasad, 1982)
- Efficienza di WPT: $BCE = 99.81\%$

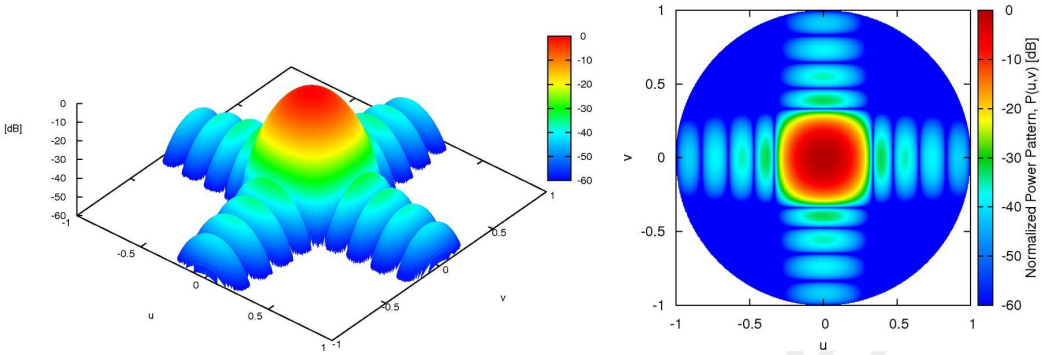


Figure 2: Pattern di riferimento

1.4 Pattern di Riferimento $BCE\ 99.90\%; (u, v) = (0.4; 0.4)$

- Pattern somma di riferimento (Prasad, 1982)
- Efficienza di WPT: $BCE = 99.90\%$

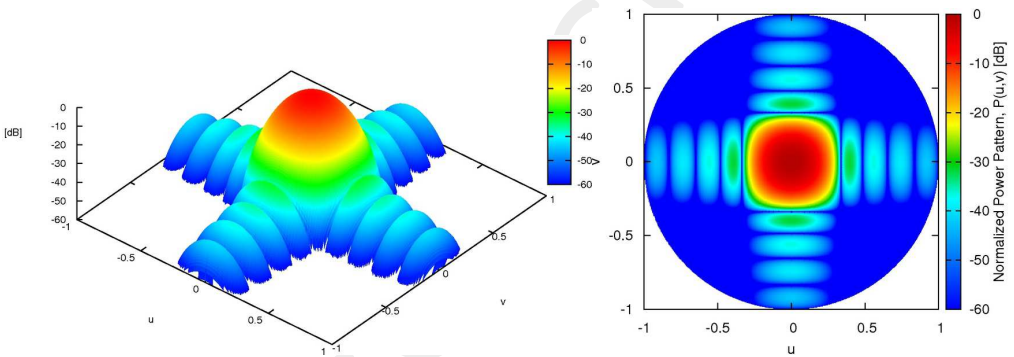


Figure 3: Pattern di riferimento

1.5 Parametri numerici pattern di riferimento

BCE	u, v	ϕ [rad]	SLL [dB]	$First\ Null$ [rad]	BW [rad]
96.56%	0.2; 0.2		-26.657699	0.273318	0.003777
99.81%	0.3; 0.3	0°	-35.423378	0.340862	0.004254
99.90%	0.4; 0.4		-36.6234245	-0.984889	0.001662

1.6 Risultati

1.6.1 Parametri vs Numero di subarray

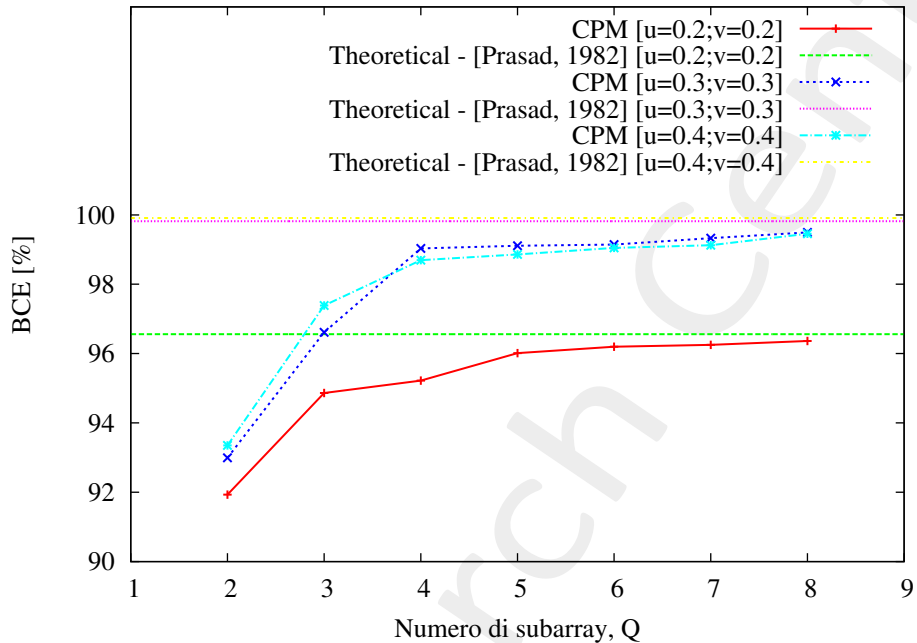
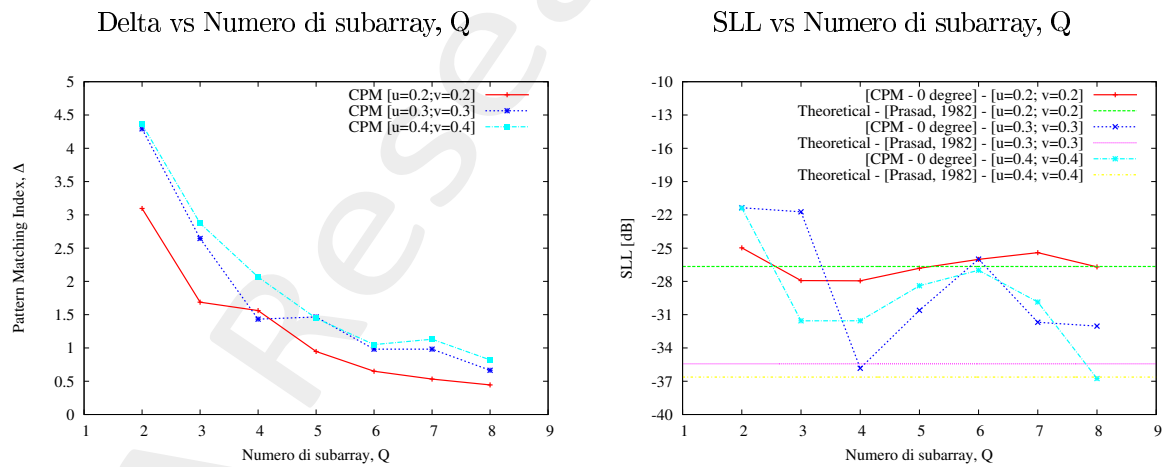


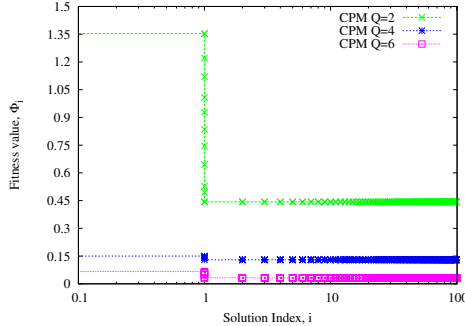
Figure 4: BCE vs Numero di subarray, Q



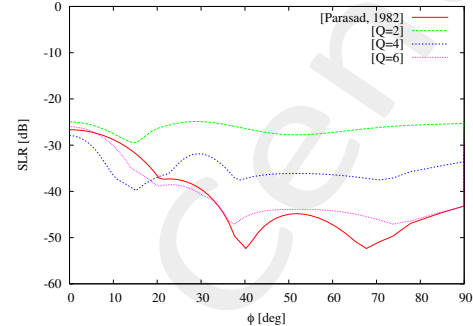
1.6.2 Studio casi significativi ($Q = 2, 4, 6$)

PARAMETRI CON TARGET BCE 96.56%; $(u, v) = (0.2; 0.2)$

Evoluzione funzionale di costo CPM

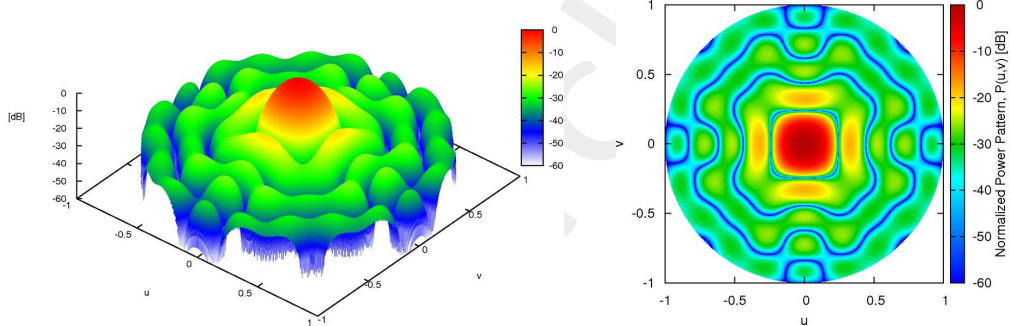


Side Lobe Ratio (SLR)

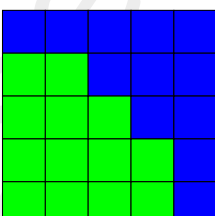


$Q=2$

BEAM PATTERN



CONFIGURAZIONE DELLE ECCITAZIONI



Legend:

■ Sub-array 1

■ Sub-array 2

Indice	Valore
Sub-array 1	0.271799
Sub-array 2	0.709301

PARAMETRI ANALITICI PATTERN

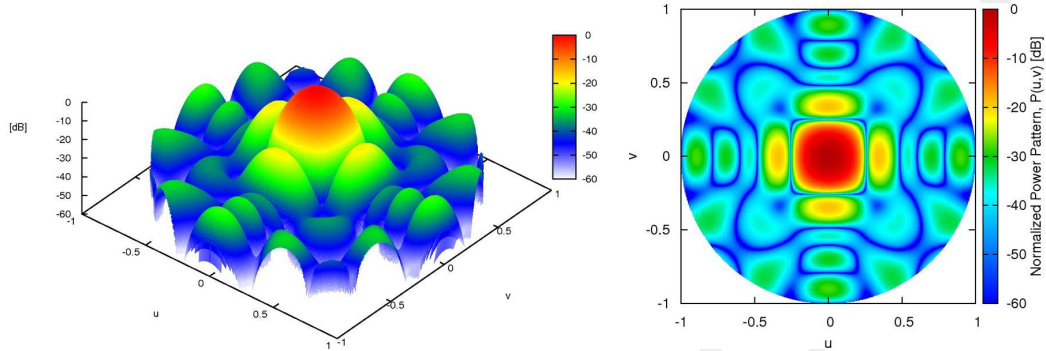
ϕ [rad]	SLL [dB]	$First\ Null$ [rad]	BW [rad]	Δ_{norm}
0°	-24.977903	-0.988030	0.001230	0.135352
$\Delta_{Medio_{norm}}$				0.211403
BCE [%]				91.93

PRESTAZIONI BEM - CPM

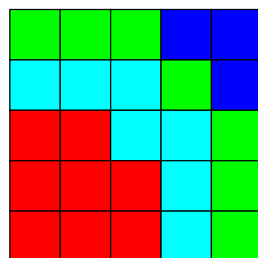
# iterazioni	swap	$min \{Fitness\}$
100	13	0.443248

Q=4

BEAM PATTERN



CONFIGURAZIONE DELLE ECCITAZIONI



Legend:

- █ Sub-array 1
- █ Sub-array 2
- █ Sub-array 3
- █ Sub-array 4

	Indice	Valore	Indice	Valore
Sub-array 1	0.150006	Sub-array 3	0.504893	
Sub-array 2	0.280513	Sub-array 4	0.816830	

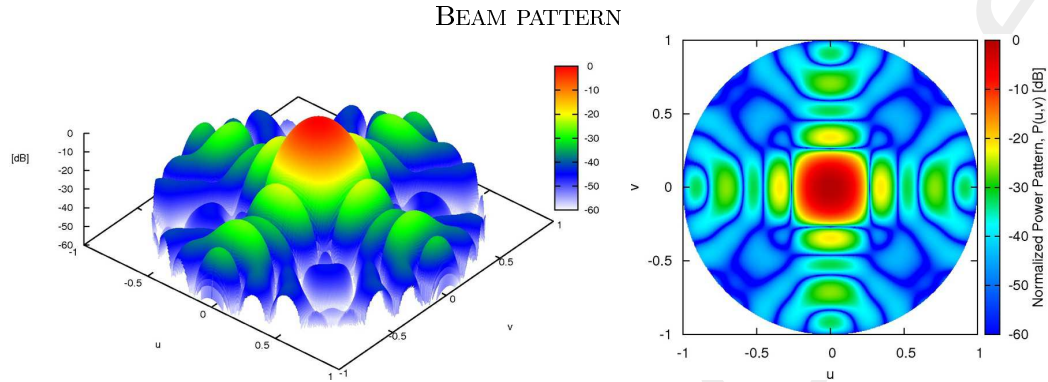
PARAMETRI ANALITICI PATTERN

ϕ [rad]	SLL [dB]	First Null [rad]	BW [rad]	Δ_{norm}
0	-27.945690	-0.906349	0.001334	0.135461
$\Delta_{Medio_{norm}}$				0.105438
BCE [%]				95.21

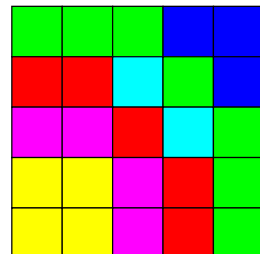
PARAMETRI BEM

# iterazioni	swap	$\min \{Fitness\}$
100	18	0.129724

Q=6



CONFIGURAZIONE DELLE ECCITAZIONI



Legend:

- █ Sub-array 1
- █ Sub-array 2
- █ Sub-array 3
- █ Sub-array 4
- █ Sub-array 5
- █ Sub-array 6

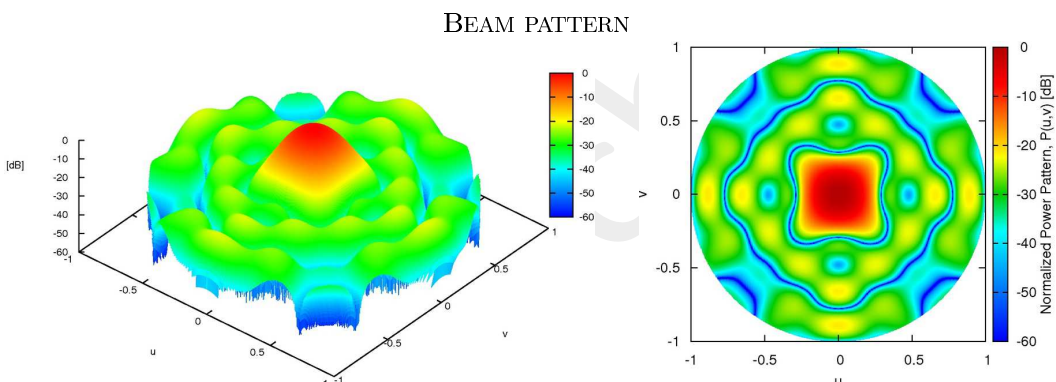
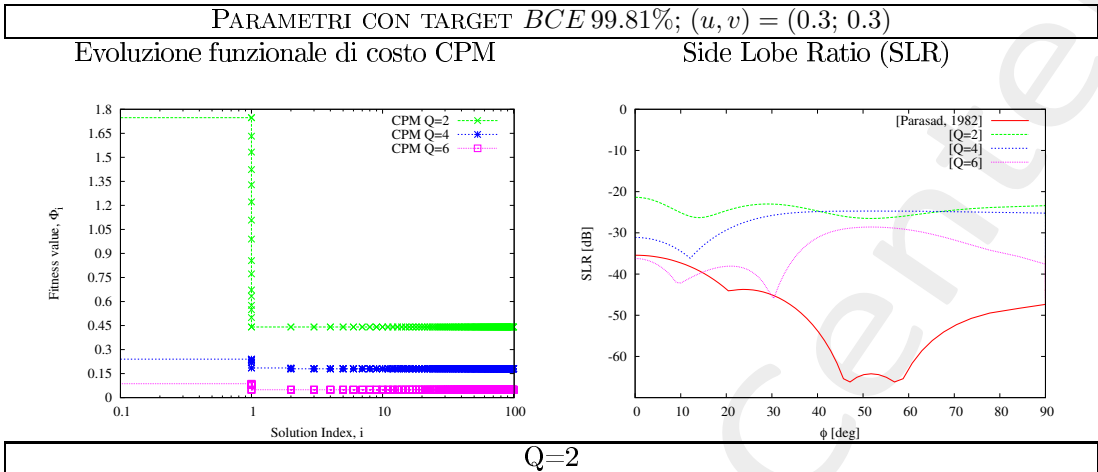
Indice	Valore	Indice	Valore
Sub-array 1	0.150006	Sub-array 4	0.423987
Sub-array 2	0.280513	Sub-array 5	0.717193
Sub-array 3	0.537256	Sub-array 6	0.916467

PARAMETRI ANALITICI PATTERN

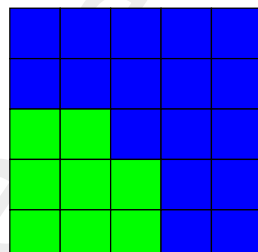
$\phi [rad]$	$SLL [dB]$	$First\ Null [rad]$	$BW [rad]$	Δ_{norm}
0°	-26.014368	-0.980176	0.001346	0.066983
$\Delta_{Medio_{norm}}$				0.043387
$BCE [\%]$				96.19

PRESTAZIONI BEM - CPM

# iterazioni	swap	$min \{Fitness\}$
100	22	0.031976



CONFIGURAZIONE DELLE ECCITAZIONI



Legend:

■ Sub-array 1

■ Sub-array 2

Indice	Valore
Sub-array 1	0.191544
Sub-array 2	0.722048

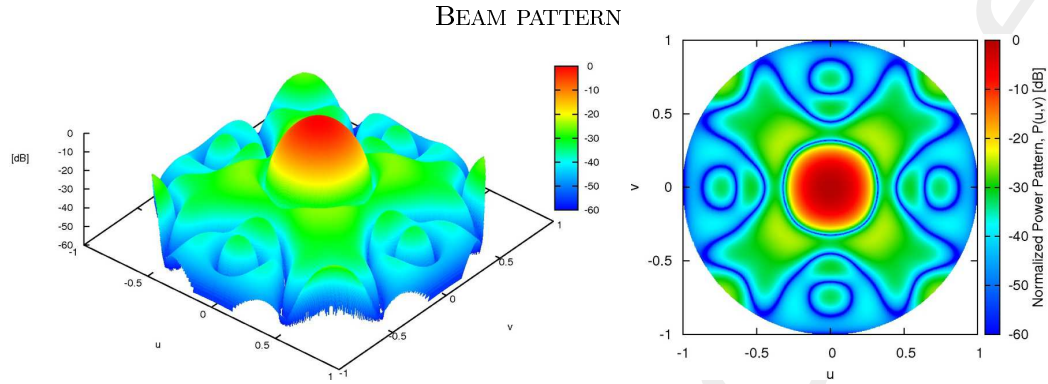
PARAMETRI ANALITICI PATTERN

ϕ [rad]	SLL [dB]	First Null [rad]	BW [rad]	Δ_{norm}
0°	-21.360549	0.293738	0.003843	0.338683
$\Delta_{Medio_{norm}}$				0.265773
BCE [%]				92.99

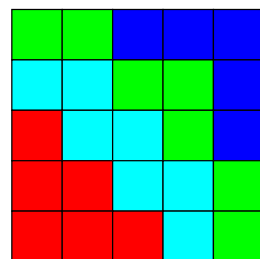
PRESTAZIONI BEM - CPM

# iterazioni	swap	$\min \{Fitness\}$
100	18	0.441201

Q=4



CONFIGURAZIONE DELLE ECCITAZIONI



Legend:

- █ Sub-array 1
- █ Sub-array 2
- █ Sub-array 3
- █ Sub-array 4

Indice	Valore	Indice	Valore
Sub-array 1	0.0649556	Sub-array 3	0.405792
Sub-array 2	0.166090	Sub-array 4	0.784112

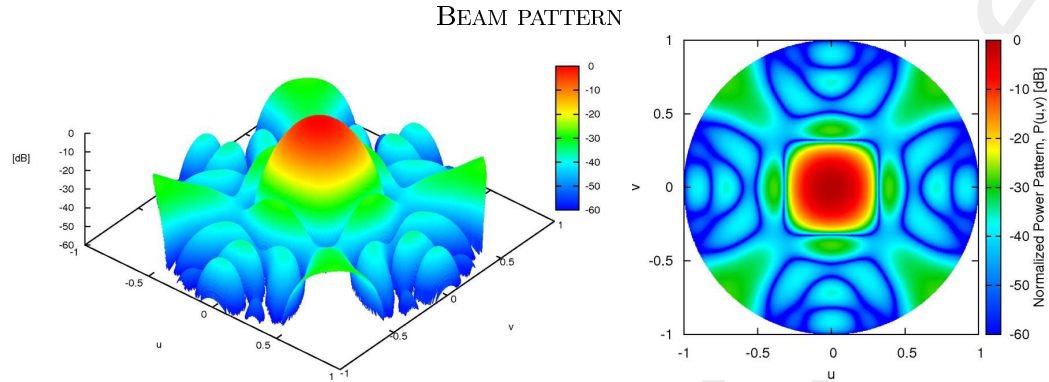
PARAMETRI ANALITICI PATTERN

$\phi [rad]$	$SLL[dB]$	$First\ Null [rad]$	$BW [rad]$	Δ_{norm}
0°	-31.112731	0.328296	0.004140	0.062973
$\Delta_{Medio_{norm}}$				0.126313
$BCE [\%]$				97.87

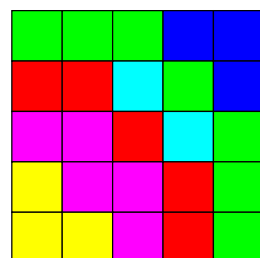
PRESTAZIONI BEM - CPM

$\# \text{ iterazioni}$	$swap$	$min \{Fitness\}$
100	20	0.179882

Q=6



CONFIGURAZIONE DELLE ECCITAZIONI



Legend:

- █ Sub-array 1
- █ Sub-array 2
- █ Sub-array 3
- █ Sub-array 4
- █ Sub-array 5
- █ Sub-array 6

Indice	Valore	Indice	Valore
Sub-array 1	0.0454576	Sub-array 4	0.353767
Sub-array 2	0.126802	Sub-array 5	0.454576
Sub-array 3	0.231708	Sub-array 6	0.906691

PARAMETRI ANALITICI PATTERN

ϕ [rad]	SLL [dB]	First Null [rad]	BW [rad]	Δ_{norm}
0°	-36.215751	0.328296	0.004214	0.049148
$\Delta_{Medio_{norm}}$				0.064949
BCE [%]				99.22

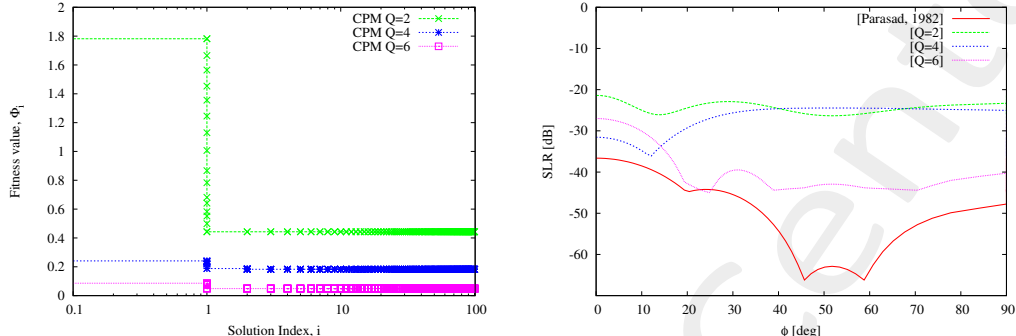
PARAMETRI BEM

# iterazioni	swap	$\min \{Fitness\}$
100	23	0.0493828

PARAMETRI CON TARGET BCE 99.90%; $(u, v) = (0.4; 0.4)$

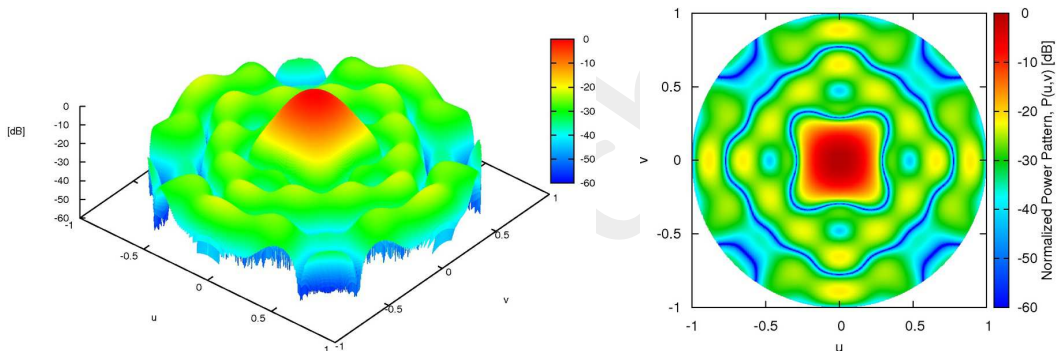
Evoluzione funzionale di costo CPM

Side Lobe Ratio (SLR)

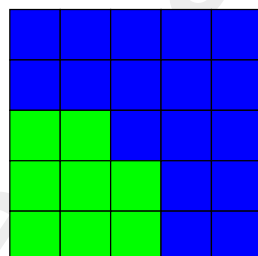


$Q=2$

BEAM PATTERN



CONFIGURAZIONE DELLE ECCITAZIONI



Legend:

Sub-array 1

Sub-array 2

Indice	Valore
Sub-array 1	0.187285
Sub-array 2	0.723488

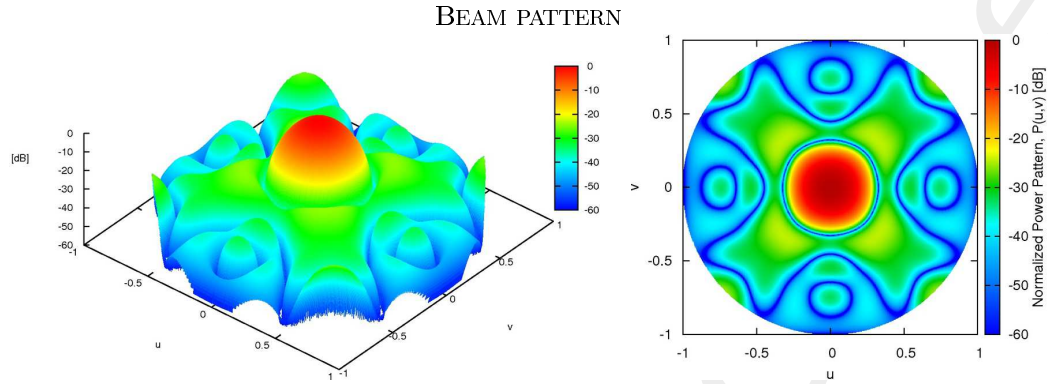
PARAMETRI ANALITICI PATTERN

ϕ [rad]	SLL [dB]	First Null [rad]	BW [rad]	Δ_{norm}
0°	-21.386123	-0.884358	0.001397	0.343711
$\Delta_{Medio_{norm}}$				0.268766
BCE [%]				93.35

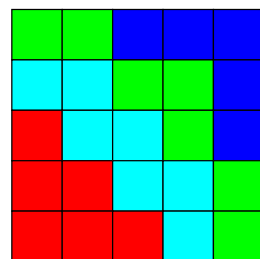
PARAMETRI BEM

# iterazioni	swap	$\min \{Fitness\}$
100	18	0.442998

Q=4



CONFIGURAZIONE DELLE ECCITAZIONI



Legend:

- █ Sub-array 1
- █ Sub-array 2
- █ Sub-array 3
- █ Sub-array 4

Indice	Valore	Indice	Valore
Sub-array 1	0.061188	Sub-array 3	0.404026
Sub-array 2	0.160697	Sub-array 4	0.785458

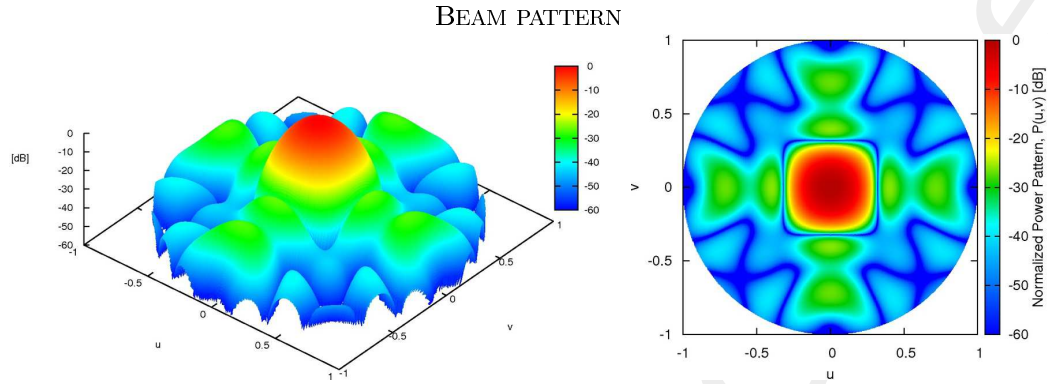
PARAMETRI ANALITICI PATTERN

$\phi [rad]$	$SLL[dB]$	$First\ Null [rad]$	$BW [rad]$	Δ_{norm}
0°	-31.545280	-1.107128	0.001561	0.064382
$\Delta_{Medio_{norm}}$				0.127094
$BCE [\%]$				98.69

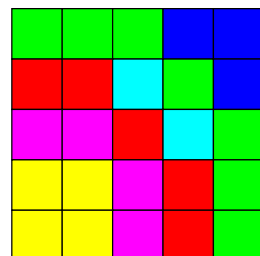
PRESTAZIONI BEM - CPM

# iterazioni	swap	$min \{Fitness\}$
100	20	0.182956

Q=6



CONFIGURAZIONE DELLE ECCITAZIONI



Legend:

- █ Sub-array 1
- █ Sub-array 2
- █ Sub-array 3
- █ Sub-array 4
- █ Sub-array 5
- █ Sub-array 6

Indice	Valore	Indice	Valore
Sub-array 1:	0.0422572	Sub-array 4	0.350605
Sub-array 2	0.120900	Sub-array 5	0.580640
Sub-array 3	0.228872	Sub-array 6	0.866336

PARAMETRI ANALITICI PATTERN

ϕ [rad]	SLL [dB]	First Null [rad]	BW [rad]	Δ_{norm}
0°	-26.997739	-1.567654	0.001622	0.115141
$\Delta_{Medio_{norm}}$				0.064696
BCE [%]				99.04

PRESTAZIONI BEM - CPM

# iterazioni	swap	$\min \{Fitness\}$
100	22	0.048980

Appendix

BEAM COLLECTION EFFICIENCY (BCE)

Per un'antenna il quale lobo principale è lungo l'asse z ($\theta = 0^\circ$) definiamo BE come:

$$BCE = \frac{\text{Potenza trasmessa (o ricevuta) in un certo angolo } \theta_i}{\text{Potenza trasmessa (o ricevuta) dall'antenna}} \quad (1)$$

dove θ_i è metà dell'angolo del cono all'interno del quale si trova la maggior percentuale della potenza totale.

$$BCE = \frac{\int_0^{2\pi} \int_0^{\theta_i} U(\theta, \phi) \sin\theta d\theta d\phi}{\int_0^{2\pi} \int_0^{\pi} U(\theta, \phi) \sin\theta d\theta d\phi} \quad (2)$$

Solitamente θ_i è scelto corrispondente al primo nullo, quindi BE rappresenta il rapporto tra la potenza del lobo principale rispetto alla potenza totale.

References

- [1] P. Rocca, L. Manica, R. Azaro, and A. Massa, "A hybrid approach for the synthesis of sub-arrayed monopulse linear arrays," *IEEE Trans. Antennas Propag.*, vol. 57, no. 1, pp. 280-283, Jan. 2009.
- [2] L. Manica, P. Rocca, M. Benedetti, and A. Massa, "A fast graph-searching algorithm enabling the efficient synthesis of sub-arrayed planar monopulse antennas," *IEEE Trans. Antennas Propag.*, vol. 57, no. 3, pp. 652-664, Mar. 2009.
- [3] P. Rocca, L. Manica, A. Martini, and A. Massa, "Compromise sum-difference optimization through the iterative contiguous partition method," *IET Microwaves, Antennas & Propagation*, vol. 3, no. 2, pp. 348-361, 2009.
- [4] L. Manica, P. Rocca, and A. Massa, "An excitation matching procedure for sub-arrayed monopulse arrays with maximum directivity," *IET Radar, Sonar & Navigation*, vol. 3, no. 1, pp. 42-48, Feb. 2009.
- [5] L. Manica, P. Rocca, A. Martini, and A. Massa, "An innovative approach based on a tree-searching algorithm for the optimal matching of independently optimum sum and difference excitations," *IEEE Trans. Antennas Propag.*, vol. 56, no. 1, pp. 58-66, Jan. 2008.
- [6] P. Rocca, L. Manica, and A. Massa, "Synthesis of monopulse antennas through the iterative contiguous partition method," *Electronics Letters*, vol. 43, no. 16, pp. 854-856, Aug. 2007.
- [7] P. Rocca, L. Manica, A. Martini, and A. Massa, "Synthesis of large monopulse linear arrays through a tree-based optimal excitations matching," *IEEE Antennas Wireless Propag. Lett.*, vol. 7, pp. 436-439, 2007.
- [8] P. Rocca, L. Manica, and A. Massa, "An effective excitation matching method for the synthesis of optimal compromises between sum and difference patterns in planar arrays," *Progress in Electromagnetic Research B*, vol. 3, pp. 115-130, 2008.
- [9] P. Rocca, L. Manica, and A. Massa, "Directivity optimization in planar sub-arrayed monopulse antenna," *Progress in Electromagnetic Research L*, vol. 4, pp. 1-7, 2008.
- [10] G. Oliveri, "Multi-beam antenna arrays with common sub-array layouts," *IEEE Antennas Wireless Propag. Lett.*, vol. 9, pp. 1190-1193, 2010.
- [11] L. Manica, P. Rocca, G. Oliveri, and A. Massa, "Synthesis of multi-beam sub-arrayed antennas through an excitation matching strategy," *IEEE Trans. Antennas Propag.*, vol. 59, no. 2, pp. 482-492, Feb. 2011.
- [12] L. Manica, P. Rocca, and A. Massa, "Design of subarrayed linear and planar array antennas with SLL control based on an excitation matching approach," *IEEE Trans. Antennas Propag.*, vol. 57, no. 6, pp. 1684-1691, Jun. 2009.
- [13] P. Rocca, L. Manica, and A. Massa, "An improved excitation matching method based on an ant colony optimization for suboptimal-free clustering in sum-difference compromise synthesis," *IEEE Trans. Antennas Propag.*, vol. 57, no. 8, pp. 2297-2306, Aug. 2009.
- [14] P. Rocca, L. Manica, and A. Massa, "Ant colony based hybrid approach for optimal compromise sum-difference patterns synthesis," *Microwave Opt. Technol. Lett.*, vol. 52, no. 1, pp. 128-132, Jan. 2010.
- [15] P. Rocca, L. Manica, and A. Massa, "Hybrid approach for sub-arrayed monopulse antenna synthesis," *Electronics Letters*, vol. 44, no. 2, pp. 75-76, Jan. 2008.
- [16] P. Rocca, L. Manica, F. Stringari, and A. Massa, "Ant colony optimization for tree-searching based synthesis of monopulse array antenna," *Electronics Letters*, vol. 44, no. 13, pp. 783-785, Jun. 19, 2008.
- [17] A. Massa, G. Oliveri, F. Viani, and P. Rocca, "Array designs for long-distance wireless power transmission - State-of-the-art and innovative solutions," *Proceedings of the IEEE - Special Issue on "Wireless Power Technology, Transmission and Applications"*, vol. 101, no. 6, pp. 1464-1481, June 2013.

- [18] G. Oliveri, L. Poli, and A. Massa, "Maximum efficiency beam synthesis of radiating planar arrays for wireless power transmission," *IEEE Trans. Antennas Propag.*, pp. 2490-2499, vol. 61, no. 5, May 2013.
- [19] G. Franceschetti, A. Massa, and P. Rocca, "Innovative antenna systems for efficient microwave power collection," *IEEE MTT-S International Microwave Workshop Series on "Innovative Wireless Power Transmission: Technologies, Systems, and Applications"* (IMWS-IWPT2011), Uji (Kyoto), Japan, pp. 275-278, May 12-13, 2011.
- [20] P. Rocca, G. Oliveri, and A. Massa, "Innovative array designs for wireless power transmission," *IEEE MTT-S International Microwave Workshop Series on "Innovative Wireless Power Transmission: Technologies, Systems, and Applications"* (IMWS-IWPT2011), Uji (Kyoto), Japan, pp. 279-282, May 12-13, 2011.
- [21] G. Franceschetti, P. Rocca, F. Robol, and A. Massa, "Innovative rectenna design for space solar power systems," *IEEE MTT-S International Microwave Workshop Series on "Innovative Wireless Power Transmission: Technologies, Systems, and Applications"* (IMWS-IWPT2012), Kyoto, Japan, pp. 151-153, May 10-11, 2012.
- [22] G. Oliveri, P. Rocca, F. Viani, F. Robol, and Andrea Massa, "Latest advances and innovative solutions in antenna array synthesis for microwave wireless power transmission," *IEEE MTT-S International Microwave Workshop Series on "Innovative Wireless Power Transmission: Technologies, Systems, and Applications"* (IMWS-IWPT2012), Kyoto, Japan, pp. 71-73, May 10-11, 2012.